

西日本工業大学 ○正員 寺原一哉
九州大学工学部 同 山内豊駿

1. まえがき 粘性土の二次圧密は土の種類や地盤条件によっては構造物の地下において大きな役割を果すことがある。このような場合二次圧密による地下評価することが要求される。これまでの研究の多くはこの問題を解決し得なかつたが、最近の Bjerrum¹⁾による地下解析の概念とレゾン²⁾的立場からのアプローチが有力視されている。筆者らも一軸的³⁾及び三軸的圧密試験結果に基づいて、圧密における非弾性効果(広義の二次圧密)を評価する方法を提案している。本文では、一軸的圧密試験(イド \times タ試験)中の二次圧密に関する二、三の実験事実をもとにしてスル⁴⁾の二次圧密を計算しうる簡単な方法を提案することにする。

2. 二次圧密に関する二、三の実験事実と二次圧密を評価する簡便法 一次元圧密における二次圧密による ϵ_s は次式のように鉛直荷重 σ_v' と時間 t によつてきまると仮定する。

$$\epsilon_s = f(\sigma_v', t) \quad \text{--- (2.1)}$$
 これを全微分形で表せば、次式となる。

$$d\epsilon_s = (\partial \epsilon_s / \partial \sigma_v') d\sigma_v' + (\partial \epsilon_s / \partial t) dt \quad \text{--- (2.2)}$$
 第一項は一次圧密終了までに一次圧密とともに進行する二次圧密、第二項は一次圧密終了後の二次圧密によるものと仮定することができる。これはちょうど Bjerrum¹⁾による Delayed Compression に相当すると言えられる。通常の圧密試験結果から二次圧密による ϵ_s を読み取り圧密荷重 σ_v' にねじフロットすると、1例として図-2.2 が得られる。これから ϵ_s は次式⁵⁾が成立すると考えられる。

$$\epsilon_s = d\sigma_v' \log(\sigma_v'/\sigma_{v0}) \quad \text{--- (2.3)}$$
 ここで、 σ_{v0} ：単位圧密荷重、 $d\sigma_v'$ ：直線勾配である。これから式(2.2)の右辺第一項を較べて得られる。

$$(\partial \epsilon_s / \partial \sigma_v')_t = d\sigma_v' (\gamma/\sigma_v') \quad \text{--- (2.4)}$$
 一方、式(2.2)の右辺第二項をうため圧密試験結果を以て速度 dt/dt と時間の関係に整理し直すと図-2.3 のようになる。これからより二次圧密部分の勾配は全 ϵ_s の-1.0となるので二次圧密部分の勾配を $d\epsilon_s/d\log t$ で表わし圧密荷重による変化の様子を示すと図-2.4 となる。これから正規圧密部分にたいし $d\epsilon_s/d\log t = K\sigma_v'^n$ (K ：比例定数) が得られる。このうち $n=2$ とした式(2.4)を式(2.2)へ代入して二次圧密を評価する基礎式

$$(d\epsilon_s / dt)_{\sigma_v'} = K\sigma_v'^n (\gamma/t) \quad \text{--- (2.5)}$$
 式(2.4), (2.5)を式(2.2)へ代入して二次圧密を評価する基礎式

$$d\epsilon_s = d\sigma_v' (d\sigma_v'/\sigma_{v0}) + K\sigma_v'^n (dt/t) \quad \text{--- (2.6)}$$
 を得る。

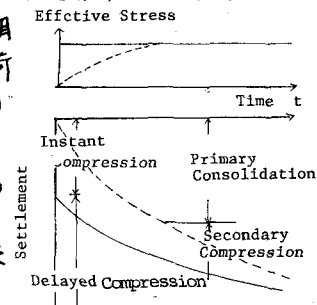


図-2.1 Bjerrum の概念
と従来の概念との比較

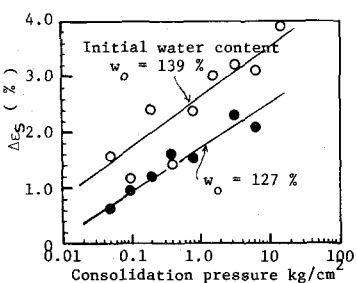


図-2.2 二次圧密による軸ひずみ
(G_s=2.34, W_L=153%, I_P=66%)

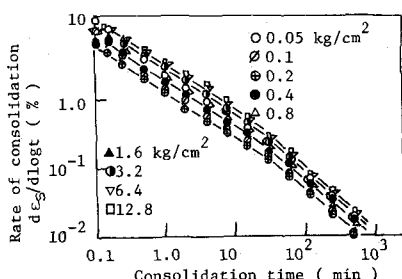


図-2.3 圧密試験におけるひずみ速度と時間

積分範囲を応力について $\sigma_{t_0} \sim \sigma_{t_0 + \Delta t_{\text{cr}} (\equiv \sigma_{t_1})}$ 、時間に $t_{t_0} \sim t_{t_0 + \Delta t_{\text{cr}}}$ (二次圧密終了までの時間) とすると圧密過程における全変位 ε_s は

$$\varepsilon_s = d\varepsilon_s / d\log t (\%) = \exp(-E^2/\eta) + K \sigma_{t_0}^n \log(t_{t_1}/t_{t_0}) \quad (2.7)$$

となる。右辺第一項は圧密中有効応力を知らなければならぬが、一次の応力近似法を用いる。図-2.5は全応力、有効応力、直せん性率の関係を示したもので、式(2.7)のロジ一式は、 $\Delta \varepsilon(t) = \exp(-E^2/\eta) \int_0^t \frac{\Delta \sigma}{\eta} \exp(Et/\eta) dt \quad (2.8)$

によれられる。全応力 σ_{t_0} は一定とする $\Delta \varepsilon(t) = \Delta \sigma_{t_0} \{1 - \exp(-Et/\eta)\} / E \quad (2.9)$ となる。従れ、 $\Delta \sigma_{t_0} = \Delta \sigma_{t_0} \{1 - \exp(-Et/\eta)\} \quad (2.10)$

山口によれば、一次圧密理論式の近似解は、次式で与えられる。

$$\Delta \varepsilon(t) = \Delta \sigma_{t_0} \{1 - \exp(-E^2(Cr/4H^2)t)\} / E \quad (2.11)$$

より、レオロジー定数は $E/\eta = \pi^2 Cr / 4H^2 = 2.572$ 計算されることになる。初期応力の経時変化を知らねばならない。これを(2.6)へ代入すると成り立つ。

$$\varepsilon_s(t) = d\varepsilon_s / d\log t = [1 + (\Delta \sigma_{t_0} / \sigma_{t_0}) \{1 - \exp(-Et/\eta)\}] + K \sigma_{t_0}^n \log(t_{t_1}/t_{t_0}) \quad (2.12)$$

3. 適用例 基本式に基づいて 図-3.1 12示すような地盤の地下水計算を行つてみると図-3.2 のようになる。圧密係数 C_u は通常の圧密試験結果から $C_u = 2.0 \times 10^{-3}$ cm^2/min を用いた。圧密試験による 2cm の供試体の地下水は計算結果と一致せず実際の地下水を過大評価する傾向がある。⁶⁾ この傾向は鶴見ら⁶⁾ がスケルトン等に実験結果や山口らによる非線形弾塑性論の立場から得た結果とも一致しており、Suklje⁹

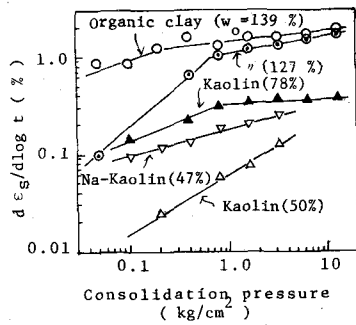


図-2.4 対数二次圧密歪

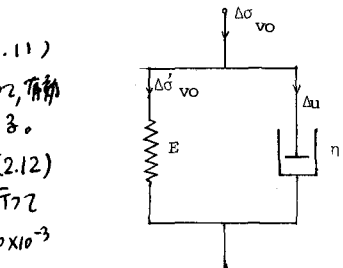


図-2.5 フィート・モデル

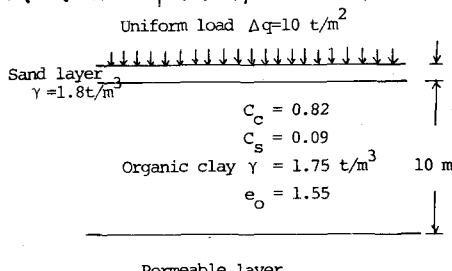


図-3.1 計算に用いたモデル地盤

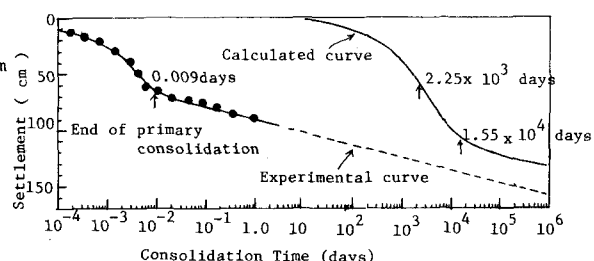


図-3.2 フィート-試験結果と計算結果の比較

いわゆる Isotaches 法は有力な方法になり得ないことを示している。また、図からわかるように一次圧密における実際の地下水は室内試験による予測よりも大きくなっている。一次圧密中の二次圧密による影響が表われたものと考えられる。

4. あとがき 一軸的圧密試験結果における二次圧密に関する二、三の実験事実をもとにして得られた二次圧密を評価する基礎式を提案し、その適用例を示した。その基礎式(2.7)または(2.12)の特徴は層厚に無関係に成立することであり、二次圧密に適するスケルトン等の現象を良く説明しうることである。現在フィールドの計測データを集めめており、その解析により本法の適用性をより詳細検討した後別機会に報告したいと考えている。

引用文献 1) Berrum,L.(1967); Engineering Geology Of Norwegian Normally-consolidated Marine Clays as Related to Settlements of Buildings, 7th Rankine Lecture, Geotechnique, Vol.17, pp.81-118.

2) 山口・鳥井原(1975); 飽和粘土の一次圧密におけるレオロジー的様相-相似則-, 第30回土木年譲, III-67, pp.129-130.

3) 齐原・山内(1975); 飽和粘土の三次圧密における非弾性効果について, 同上, pp.133-134.

4) 齐原; 線形粘弹性論とその飽和粘土の圧密挙動, 土と基礎(投稿中)

5) 山口(1969); 土復元力学, 技報堂, pp.130 および pp.119.

6) Aboshi,H.(1973); An Experimental Investigation on the Similitude in the Consolidation of a Soft Clay Including the Secondary Creep Settlement, Proc. 8th ICSMFE, Vol.4, No.3, pp.88.